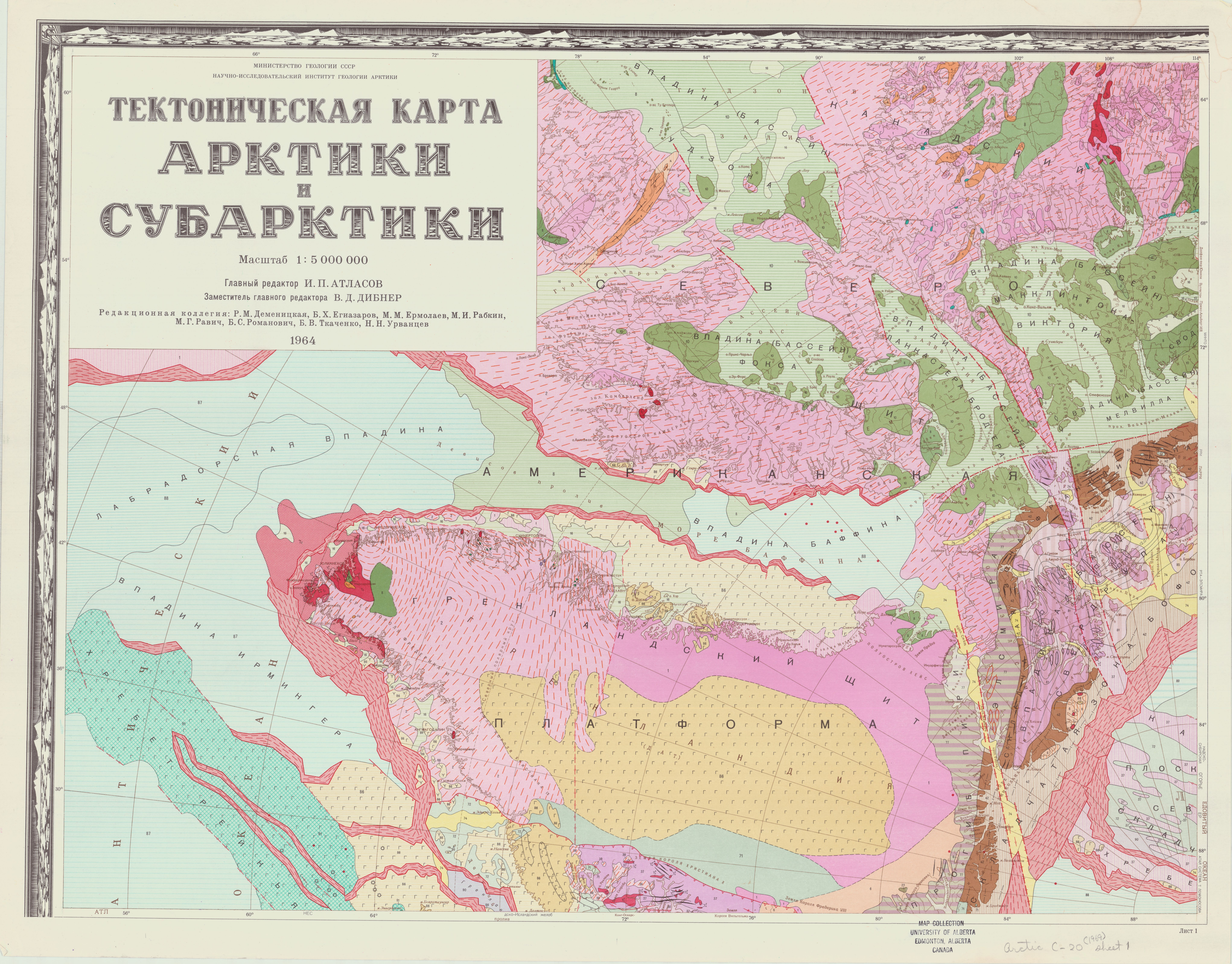
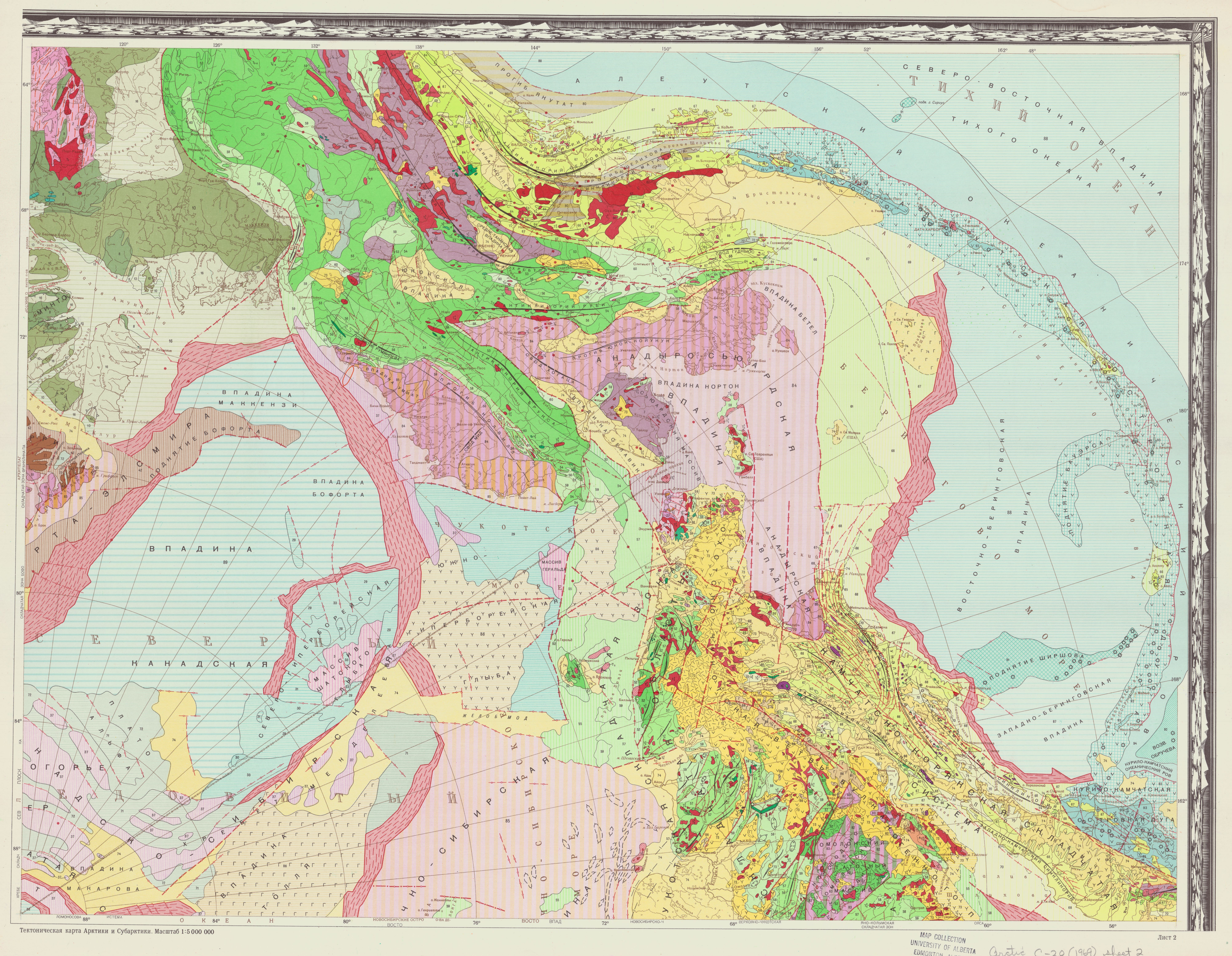

МИНИСТЕРСТВО ГЕОЛОГИИ СССР
НАУЧНО-ИССЛЕДОВАТЕЛЬСКИЙ ИНСТИТУТ ГЕОЛОГИИ АРКТИКИ
ТЕКТОНИЧЕСКАЯ КАРТА
АРКТИКИ
И
СУБАРКТИКИ
Масштаб 1 : 5 000 000
Главный редактор И. П. АТЛАСОВ
Заместитель главного редактора В. Д. ДИБНЕР
Редакционная коллегия: Р. М. Деменицкая, Б. Х. Егиазаров, М. М. Ермолаев, М. И. Рабкин, М. Г. Равич, Б. С. Романович, Б. В. Ткаченко, Н. Н. Урванцев
1964
СЕВЕРО-АМЕРИКАНСКАЯ
ГРЕНЛАНДСКИЙ ЩИТ
ПЛАТФОРМА
ЛАБРАДОРСКАЯ ВПАДИНА
ВПАДИНА ИРМИНГЕРА
ВПАДИНА БАФФИНА
МОРЕ БАФФИНА
ВПАДИНА (БАССЕЙН) ФОКСА
ВПАДИНА (БАССЕЙН) ГУДЗОНА
ВПАДИНА (БАССЕЙН) МАКЛИНТОКА
ВИКТОРИЯ
МЕЛВИЛЛА
Лист 1
MAP COLLECTION
UNIVERSITY OF ALBERTA
EDMONTON, ALBERTA
CANADA
Arctic C-20 (1964) sheet 1



Тектоническая карта Арктики и Субарктики. Масштаб 1:5 000 000

Лист 2

АНТИЧЕСКИЙ ОКЕАН

ГРЕНЛАНДСКОЕ МОРЕ

ГРЕНЛАНДСКАЯ ВПАДИНА

НОРВЕЖСКОЕ МОРЕ

ЛОФОТЕНСКАЯ ВПАДИНА

БАРЕНЦЕВО МОРЕ

БАРЕНЦЕВОМОРСКАЯ ПЛАТФОРМА

БАЛТИЙСКИЙ ЩИТ

МОСКОВСКАЯ СИНЕКЛИЗА

СХЕМА РАСПОЛОЖЕНИЯ АВТОРСКИХ МАТЕРИАЛОВ

Масштаб 1: 60 000 000

1 – И.П. Атласов, 2 – В.А. Вакар, 3 – Э.В. Волк, 4 – Я.Я. Гаккель, 5 – Р.М. Деменицкая, 6 – В.Д. Дибнер, 7 – Б.Х. Егиазаров, 8 – А.В. Зимкин, 9 – А.М. Карасик, 10 – К.О. Кратц, 11 – С.М. Крюков, 12 – Д.В. Левин, 13 – В.М. Литвин, 14 – Н.Н. Михайлов, 15 – В.И. Розенберг, 16 – Б.С. Романович, 17 – Б.В. Ткаченко

ГЕОМОРФОЛОГИЧЕСКАЯ СХЕМА

Масштаб 1:30 000 000

1. Пенеплены
2. Горные страны: а – на суше, б – в океане (включая плоскогорья и плато)
3. Вулканический рельеф срединноокеанических хребтов и океанических котловин
4. Возвышенные плато
5. Низменные плато
6. Аккумулятивные равнины: а – на суше, б – на дне шельфовых морей
7. Шельфы существенно – денудационного происхождения, затопленные пенеплены и плато
8. Аваншельфы и генетически близкие им денудационные равнины средних глубин
9. Шельфовые желоба
10. Океанические котловины
11. Океанические желоба
12. Вулканический рельеф в системе островных дуг
13. Океанические рвы
14. Материковые склоны и другие склоны регионального значения
15. Подводные каньоны
16. Рифтовые долины
17. Ледники

СЕВЕРНЫЙ ЛЕДОВИТЫЙ

ТАЙМЫРО-СЕВЕРОЗЕМЕЛЬСКАЯ СКЛАДЧАТАЯ СИСТЕМА

ВОСТОЧНО-СИБИРСКАЯ ПЛАТФОРМА

ЗАПАДНО-СИБИРСКАЯ ПЛАТФОРМА

МОРЕ ЛАПТЕВЫХ

ТОЛЩИНА ЗЕМНОЙ КОРЫ В АРКТИКЕ (в километрах)

(без учета толщины водного слоя)

Масштаб 1:60 000 000

СХЕМА ТЕКТОНИЧЕСКОГО РАЙОНИРОВАНИЯ

Масштаб 1:30 000 000

I. Плиты, характеризующиеся преобладанием восходящих движений в мезозое и кайнозое: 1 – Русская (в том числе 1а – Печорская глыба), 2 – Северо-Американская (в том числе бассейны: 2а – Гудзона, 2б – Фокса, 2в – Ланкастера, 2г – Виктории, 2д – Девиса), 3 – Восточно-Сибирская. II. Плиты, характеризующиеся преобладанием нисходящих движений в мезозое и кайнозое: 4 – Западно-Сибирская, 5 – Баренцево-Карская, 6 – Гиперборейская, состоящая из: 6а – Северо-Гиперборейской и 6б – Южно-Гиперборейской глыб. III. Архейско-протерозойские щиты: 7 – Балтийский, 8 – Гренландско-Канадский; массивы: 9 – Восточно-Шпицбергенский (активизированный), 10 – Анабарский, 11 – Шатского, 12 – Геральда. IV. Байкалиды: 13 – Енисейского кряжа, 14 – Северо-Байкальского нагорья, 15 – Тимана – о. Медвежьего, 16 – Северо-Восточной Гренландии и Земли Элсмира. V. Каледониды: 17 – Норвегии и Баренцева моря, 18 – Западного Шпицбергена, 19 – Восточной Гренландии, 20 – Островов Корнуоллиса и Акселя-Хейберга, 21 – Анадыро – Сьюардского массива (?), 22 – Северной Земли, 23 – Подводного хребта Ломоносова и плоскогорья Север, 24 – Подводного хребта Менделеева. VI. Герциниды: 25 – Урала и Новой Земли, 26 – Иннуитской складчатой системы: VII. Поздние герциниды: 27 – Таймыра и Северной Земли. VIII. Мезозоиды: 28 – Яно-Колымской складчатой зоны, 29 – Новосибирско-Чукотской складчатой зоны и хребта Брукса, 30 – Невадиды и ларамиды Центральной Аляски. IX. Альпиды: 31 – Камчатки, Корякского нагорья и Аляски. X. Перикратонные, краевые и межгорные прогибы: 32 – Ладожский и Онежский (Pt), 33 – Кольский (R–Cm), 34 – Пири-Элсмира (R–D), 35 – Предуральский (C_2–T), 36 – Предновоземельский (C_2–T), 37 – Предтаймырский (J–Cr), 38 – Предверхоянский (J–Cr), 39 – Якутат (N–Q), 40 – Шелихова (N–Q). XI. Парагеосинклинальные впадины: 41 – Свердрупа (C_2–Pg), 42 – Колымо-Индигирские (C_2–Pg), 43 – Коркодоно-Омолонские (C_2–Pg), 44 – Анадыро-Сьюардские (Cr_1–Pg), 45 – моря Лаптевых (Cr_1^2–N), 46 – Восточно-Сибирская (Cr_1^2–N), 47 – Северо-Аляскинская (Cr_2–N). XII. Верхнемезозойский вулканогенный пояс: 48 – Охотско-Чукотская зона развития кислых и средних эффузивов (Cr_{1+2}). XIII. Трансарктический платобазальтовый пояс: 49 – поля развития основных эффузивов (преимущественно (Cr_2+Pg). XIV. Океанические впадины: 50 – Баффинова, 51 – Ирмингера, 52 – Лабрадорская, 53 – Гренландская, 54 – Южно-Исландская, 55 – Северо-Исландская, 56 – Норвежская, 57 – Лофотенская, 58 – Нансена, 59 – Амундсена, 60 – Западно-Беринговская, 61 – Восточно-Беринговская, 62 – Северо-Восточная впадина Тихого океана; унаследованные от парагеосинклинальных впадин: 63 – Канадская – (N_{1-2}) и 64 – Маккензи (C_2–Q). XV. Океанические желоба: 65 – Ирландский, 66 – Фареро-Шетландский, 67 – Гренландско-Исландский, 68 – Лены (рифт), 69 – Святой Анны, 70 – Марвина, 71 – Тинро. XVI. Срединно-океанические вулканории: 72 – Рейкьянес, 73 – Центрального грабена Исландии, 74 – Исландско-Ян-Майенский, 75 – Мона, 76 – Книповича, 77 – Гаккеля (Арктический), 78 – Ширшова, 79 – Обручева. XVII. Островные дуги: 80 – Алеутская, 81 – Курило-Камчатская. XVIII. Океанические рвы: 82 – Алеутский, 83 – Курило-Камчатский. XIX. Зоны активизированных глубинных разломов (преимущественно на границе континентальных и океанических структур) – морфодизъюнктивы. XX. Предполагаемые границы погребённых срединных массивов

Линия склейки

У С Л О В Н Ы Е   О

С Т Р У К Т У Р Ы   К О Н Т И Н Е Н Т А Л Ь Н О Г О   Р Я Д А

П Л А Т Ф О Р М Ы   И   С Р Е Д И Н Н Ы Е   М А С С И В Ы

СТРУКТУРНЫЕ КОМПЛЕКСЫ И ЯРУСЫ СКЛАДЧАТОГО ФУНДАМЕНТА

- 1 (а, в) — Катархейский и архейский нерасчлененные структурные комплексы. Катархей, саамиды и беломориды Балтийского щита, архей Канадского щита и шельфа Западной Гренландии. Анабарский массив: а)–на суше, в)–на дне моря
- 2 (а, в) — Катархейский и архейский структурные комплексы, переработанные протерозойской складчатостью. Балтийский, Канадский и Гренландский щиты: а)–на суше, в)–на дне моря
- 3 (а, в) — Архейско-протерозойский нерасчлененный структурный комплекс. Северный Таймыр, Оленекское поднятие Восточно-Сибирской платформы, а также массивы–Омолонский, Анадыро-Сьюардский, Шатского и Геральда: а)–на суше, в)–на дне моря
- 4 (а, в) — Протерозойский и протерозойско-рифейский нерасчлененные структурные комлексы. Свекофениды и карелиды Балтийского щита, гренвильские структуры Канадского щита, протерозойско-рифейский Тайгоносский массив: а)–на суше, в)–на дне моря

Протерозойско-рифейский структурный комплекс.

Структурные ярусы

- 5 (а, в) — Нижний-протерозойский. Байкалиды Енисейского кряжа, Северо-Байкальского нагорья, Таймыро-Североземельской складчатой системы и о. Б. Ляховского: а)–на суше, в)–на дне моря
- 6 (а, в) — Верхний-рифейский. Байкалиды Енисейского кряжа, Северо-Байкальского нагорья (включая местами Cm_1), Таймыро-Североземельской складчатой системы, Тимана, Канина–о. Медвежьего, о. Б. Ляховского; каролиниды Северо-Восточной Гренландии и Земли Элсмира: а)–на суше, в)–на дне моря
- 7 (а, в) — Протерозойско-нижнепалеозойский нерасчлененный структурный комплекс. Анадыро-Сьюардский срединный массив, ядра антиклинориев Корякско-Камчатской и Северо-Аляскинской складчатых систем: а)–на суше, в)–на дне моря

С Т Р У К Т У Р Н Ы Е   К О М П Л Е К С Ы   И   Я Р У С Ы   П Л А Т Ф О Р М Е Н Н О Г О   Ч Е Х Л А

Эпиархейский, местами эпипротерозойский структурный комплекс
Русская и Северо-Американская плиты

- 8 (а, в) — Рифейский структурный ярус. Иотний (рифей) Русской плиты, формации гардар Юго-Западной Гренландии и туле (гренландий) Северной Гренландии, эпигренвильские образования докембрия Канады: а)–на суше, в)–на дне моря
- 9 (а, в) — Вендско-нижнепалеозойский структурный ярус. Русская плита ($V-Cm_1$): а)–на суше, в)–на дне моря
- 10 (а, в) — Нижне-среднепалеозойский структурный ярус. Русская плита ($O-D_1$) и Северо-Американская плита ($O-C_1$): а)–на суше, в)–на дне моря

Среднепалеозойский структурный ярус Русской плиты (только на суше):

- 11 — Нижний подъярус (D_2)
- 12 — Верхний подъярус (D_3+C_1)

- 13 (а, в) — Верхнепалеозойско-нижнемезозойский структурный ярус Северо-Американской плиты. (C_2-T_1): а)–на суше, в)–на дне моря

Верхнепалеозойско-нижнемезозойский структурный ярус Русской плиты:

- 14 (а, в) — Нижний подъярус (C_2-P_1): а)–на суше, в)–на дне моря
- 15 (а, в) — Верхний подъярус (P_2-T_1): а)–на суше, в)–на дне моря

- 16 (а, в) — Мезозойско-кайнозойский структурный ярус. Русская (T_2-Cr_1) и Северо-Американская ($J-Pg$) плиты и чехол Гренландского щита ($J-Cr_2$): а)–на суше, в)–на дне моря

Эпирифейский, местами эпинижнепалеозойский структурный комплекс
Чехол Печорской глыбы Русской плиты

- 17 (а, в) — Нижне-среднепалеозойский структурный ярус ($O-D_1$): а)–на суше, в)–на дне моря

Средне-верхнепалеозойский структурный ярус:

- 18 (а, в) — Нижний подъярус (D_2-C_1): а)–на суше, в)–на дне моря
- 19 (а, в) — Верхний подъярус (C_2-P_1): а)–на суше, в)–на дне моря

- 20 — Палеозойско-мезозойский структурный ярус (P_2-J_1), только на суше

Мезозойско-кайнозойский структурный ярус:

- 21 (а, в) — Нижний подъярус (J_2-Cr_1): а)–на суше, в)–на дне моря
- 22 — Верхний подъярус (Cr_1-Pg), только на дне моря

Эпиархейско-протерозойский, местами эпирифейский структурный комплекс
Восточно-Сибирская плита

- 23 — Протерозойско-рифейский структурный ярус
- 24 — Нижне-среднепалеозойский структурный ярус ($Cm-C_1$)

Верхнепалеозойско-нижнемезозойский структурный ярус:

- 25 — Нижний подъярус (C_2-P_2)
- 26 — Верхний подъярус (T)

Мезозойско-кайнозойский структурный ярус:

- 27 — Нижний подъярус (J_1-Cr_1)
- 28 — Верхний подъярус (Cr_2-Pg)

Эпипротерозойский, местами эпинижнепалеозойский структурный комплекс
Чехол Баренцево-Карской и других гетерогенных платформ (преимущественно в акваториях)

- 29 — Рифейско-силурийский структурный ярус, только на дне моря
- 30 (а, в) — Средне-верхнепалеозойский структурный ярус (D–P): а)–на суше, в)–на дне моря
- 31 (а, в) — Нижнемезозойский структурный ярус ($T+J_1$): а)–на суше, в)–на дне моря
- 32 (а, в) — Верхнемезозойский структурный ярус (J_2-Cr_1): а)–на суше, в)–на дне моря
- 33 (а, в) — Мезозойско-кайнозойский структурный ярус (Cr_2-N_1, местами Cr_2-Q_1): а)–на суше, в)–на дне моря

Эпирифейский, местами эпипалеозойский, структурный комплекс. Западно-Сибирская плита и юго-запад Карского моря

- 34 — Среднепалеозойский структурный ярус (Pz_2), только на дне моря
- 35 (а, в) — Мезозойско-кайнозойский структурный ярус ($J-Pg$): а)–на суше, в)–на дне моря
- 36 — Кайнозойский структурный ярус ($Pg-N$), только на дне моря

С К Л А Д Ч А Т Ы Е

С Т Р У К Т У Р Н Ы Е   К О М П Л Е

Г Е О С И Н К Л И Н А Л

Рифейско-девонский структурный комплекс (каледониды)

- 37 (а, в) — Рифейско-силурийский ярус. Шпицберген (Новая Фрисландия), Норвегия, Баренцево море, фундамент Срединно-Атлантического хребта, Сев. Вост. Гренландия, складчатый пояс Корнуоллис и Канадско-Сибирская система каледонид: а)–на суше, в)–на дне моря
- 38 (а, в) — Девонский ярус. Свальбардские структуры Шпицбергена и верхний ярус каледонид Зап. Норвегии и Сев. Вост. Гренландии: а)–на суше, в)–на дне моря
- 39 (а, в) — Архейские структуры фундамента Восточно-Гренландских каледонид: а)–на суше, в)–на дне моря
- 40 (а, в) — Протерозойско-рифейские структуры фундамента Норвежских каледонид и Сев. Вост. Земли Шпицбергена: а)–на суше, в)–на дне моря
- 41 — Каролиниды (байкалиды) Северо-Восточной Гренландии, переработанные каледонской складчатостью, только на суше

Рифейско-верхнепалеозойский структурный комплекс (герциниды)
Иннуитская (42) и Урало-Новоземельская (43–46) складчатые системы

- 42 (а, в) — Кембрийско-каменноугольный структурный ярус ($Cm-C_2$). Ранние герциниды Земли Пири–Канадского архипелага: а)–на суше, в)–на дне моря
- 43 (а, в) — Рифейско-нижнепалеозойский структурный ярус ($R-Cm_1$, иногда O): а)–на суше, в)–на дне моря
- 44 (а, в) — Нижне-среднепалеозойский структурный ярус ($O-D_1$, иногда $S-D_1$): а)–на суше, в)–на дне моря

Средне-верхнепалеозойский структурный ярус:

- 45 (а, в) — Нижний подъярус (D_2-C_1, местами включает C_{2+3}): а)–на суше, в)–на дне моря
- 46 (а, в) — Верхний подъярус (C_2-P): а)–на суше, в)–на дне моря

Палеозойско-нижнемезозойский структурный комплекс (поздние герциниды)
Таймыро-Североземельская складчатая система

Нижне-среднепалеозойский ярус:

- 47 (а, в) — Нижний подъярус ($Cm-S$), на Северной Земле–ярус: а)–на суше, в)–на дне моря
- 48 — Верхний подъярус ($D-C_1$), только на Таймыре

Только на Таймыре:

- 49 (а, в) — Верхнепалеозойский ярус (C_2-T_1): а)–на суше, в)–на дне моря
- 50 (а, в) — Нижнемезозойский ярус (T_{1-3}): а)–на суше, в)–на дне моря

Рифейско-меловой структурный комплекс (мезозоиды)
Верхояно-Чукотская область, Северная часть Аляски и прилегающие области дна Северного Ледовитого океана

- 51 — Рифейский структурный ярус, только на суше
- 52 (а, в) — Нижне-среднепалеозойский нерасчлененный структурный ярус ($Cm-C_1$): а)–на суше, в)–на дне моря

Нижне-среднепалеозойский структурный ярус (Аляска):

- 53 (а, в) — Нижний подъярус ($Cm-S_2$): а)–на суше, в)–на дне моря
- 54 (а, в) — Верхний подъярус (S_2+D_1, местами включает D_2-C_1): а)–на суше, в)–на дне моря

- 55 (а, в) — Верхнепалеозойско-мезозойский структурный ярус (C_2-Cr_1 на правобережье Нижней Индигирки): а)–на суше, в)–на дне моря

Верхнепалеозойско-мезозойский структурный ярус:

- 56 (а, в) — Верхнепалеозойский подъярус (C_2-P_2): а)–на суше, в)–на дне моря
- 57 (а, в) — Нижнемезозойский подъярус (T): а)–на суше, в)–на дне моря
- 58 (а, в) — Среднемезозойский подъярус (J_{1+2}): а)–на суше, в)–на дне моря

На Аляске в виде единого подъяруса под № 58 выделены структуры ($J+Cr_1$)

- 59 (а, в) — Верхнемезозойский подъярус (J_3+Cr_1) на Чукотке–в значении яруса; в Западном Верхоянье включает Cr_2^1, а на Аляске имеет объем $J_2-Cr_1^1$: а)–на суше, в)–на дне моря
- 60 — Верхнемезозойский структурный ярус ($Cr_1^2-Cr_2$), только на суше (Аляска)

П Е Р И К Р А Т О Н Н Ы Е,   К Р А Е В Ы Е   И   М Е Ж Г О Р Н Ы Е

- 75 — Протерозойский структурный ярус. Ладожский и Онежский межгорные прогибы
- 76 (а, в) — Рифейско-нижнепалеозойский ярус ($R-Cm$). Кольский прогиб: а)–на суше, в)–на дне моря
- 77 (а, в) — Рифейско-среднепалеозойский структурный ярус. Прогиб Пири-Элсмира ($R-D$–перикратонный): а)–на суше, в)–на дне моря
- 78 (а, в) — Верхнепалеозойско-нижнемезозойский структурный ярус (C_2-T). Предуральский и Предновоземельский прогибы (передовые): а)–на суше, в)–на дне моря
- 79 (а, в) — Мезозойский структурный ярус ($J+Cr$, местами включает $Pg+N$). Предтаймырский (предгорный) и Предверхоянский (передовой) прогибы: а)–на суше, в)–на дне моря

П А Р А Г Е О С И Н К Л И Н А Л Ь Н Ы Е   В П

- 81 (а, в) — Верхнепалеозойско-кайнозойский структурный ярус. Бассейн Свердрупа (C_2-Pg) и центральная мульда Зап. Шпицбергена ($C-P$): а)–на суше, в)–на дне моря

Верхнепалеозойско-мезозойский структурный ярус на Колымском и Омолонском массивах:

- 82 — Нижний подъярус (C_2-T)
- 83 — Верхний подъярус ($J+Cr_1$)

- 84 (а, в) — Верхнемезозойско-кайнозойский (нижний) структурный ярус. Прогибы на Анадыро-Сьюардском массиве, в Восточно-Сибирской впадине (Cr_1^2-Pg) и на севере Аляски (Cr): а)–на суше, в)–на дне моря
- 85 (а, в) — Кайнозойский (верхний) структурный ярус во впадинах Восточно-Сибирской и моря Лаптевых ($N+Q$) и на севере Аляски ($Pg+N$): а)–на суше, в)–на дне моря

С Т Р У К Т У Р Ы   О К Е А Н И Ч Е С К О Г О   Р Я Д А

ЗОНЫ ТЕКТОНО-МАГМАТИЧЕСКОЙ АКТИВИЗАЦИИ

- 86 (а, в) — Трансарктический платобазальтовый пояс (преимущественно Cr_2+Pg): а)–на суше, в)–на дне моря

О К Е А Н И Ч Е С К И Е   В П А Д И Н Ы

N_{1-2}:

- 87 — На земной коре переходного типа (впадины Ирмингера, Гренландская, Южно-Исландская, Северо-Исландская, Норвежская, Лофотенская, Западно-Беринговская)
- 88 — На земной коре океанического типа (впадины Баффина, Лабрадорская, Нансена, Амундсена, Восточно-Беринговская, Сев. Вост. впадина Тихого океана)
- 89 — Впадины Канадская и Маккензи (N_{1-2})

О К Е А Н И Ч Е С К И Е   Ж Е Л О Б А   (Г Р А Б Е Н Ы)

- 90 — Желоба: Ирландский, Фареро-Шетландский, Гренландско-Исландский, Святой Анны, Марвина, Тинро — N_2

С Р Е Д И Н Н О О К Е А Н И Ч Е С К И Е   В У Л К А Н О Р И И

N_2-Q:

- 91 (а, в) — На земной коре переходного типа вулканорий: (Рейкьянес, Исландско-Ян-Майенский, Мона, Книповича, Центрального грабена Исландии, Ширшова: а)–на суше, в)–на дне моря
- 92 — На земной коре океанического типа – вулканорий Гаккеля (Арктический) и возвышенность Обручева

СОВРЕМЕННЫЕ ГЕОСИНКЛИНАЛИ-ОСТРОВНЫЕ ВУЛКАНО-ТЕКТОНИЧЕСКИЕ ПОДНЯТИЯ (ОСТРОВНЫЕ ДУГИ) И ОКЕАНИЧЕСКИЕ РВЫ

$Pg-Q$:

- 93 (а, в) — Алеутская и Курило-Камчатская островные дуги: а)–на суше, в)–на дне моря
- 94 — Алеутский и Курило-Камчатский океанические рвы, сопряженные с одноименными островными дугами

Всесоюзный аэрогеологический трест
Министерства геологии СССР
Москва 1969

Линия склейки

Б О З Н А Ч Е Н И Я

С И С Т Е М Ы

К С Ы И Я Р У С Ы

Ь Н Ы Е | ПОСТГЕОСИНКЛИНАЛЬНЫЕ

Рифейско-кайнозойский структурный комплекс (альпиды)
Камчатка, Корякское нагорье, Южная Аляска

а 61 в — Рифейско-фанерозойский нерасчлененный структурный комплекс (R–N): а)–на суше, в)–на дне моря

62 — Нижнепалеозойский структурный ярус ($Cm–S_2$, местами включая R), только на суше

Средне-верхнепалеозойский структурный ярус:

63 — Нижний подъярус ($D_2–C_1$), только на суше

а 64 в — Верхний подъярус ($C–P_2$): а)–на суше, в)–на дне моря

В Корякском нагорье и на Камчатке выделяется единый ярус ($D_2–P_2$, местами включает O–S) под №63

Нижне-среднемезозойский структурный ярус:

а 65 в — Нижний подъярус ($T+J_{1+2}$), только в Корякском нагорье: а)–на суше, в)–на дне моря

а 66 в — Верхний подъярус (J_3+Cr_1): а)–на суше, в)–на дне моря

а 67 в — Верхнемезозойский структурный ярус ($Cr_1^2–Cr_2$): а)–на суше, в)–на дне моря

Нижне-кайнозойский структурный ярус:

а 68 в — Нижний подъярус ($Pg+N_1$, местами включает Cr_2): а)–на суше, в)–на дне моря

а 69 в — Средний подъярус (Pg_2+N, только на Аляске): а)–на суше, в)–на дне моря

а 70 в — Верхний подъярус (N): а)–на суше, в)–на дне моря

Среднепалеозойско-кайнозойский структурный комплекс

а 71 в — Среднепалеозойско-мезозойский структурный ярус. Восточная Гренландия ($C_1–J_1$) и субокеанические районы: а)–на суше, в)–на дне моря

а 72 в — Верхнемезозойский структурный ярус. Восточная Гренландия, Урало-Новоземельская область ($J_2–Cr$), Таймыр (J+Cr), Северная Земля (J–Pg) и прилегающие океанические районы: а)–на суше, в)–на дне моря

а 73 в — Мезозойско-кайнозойский структурный ярус. Верхояно-Чукотская область ($Cr_1^2+Cr_2$), Аляска (Pg+N) и субокеанические районы: а)–на суше, в)–на дне моря

а 74 в — Кайнозойский структурный ярус (N+Q). Складчатый пояс Корнуоллиса, Верхояно-Чукотская область, Аляска (Q, местами N_2) и субокеанические районы: а)–на суше, в)–на дне моря

П Р О Г И Б Ы

а 80 в — Позднекайнозойские (N+Q) прогибы на юге Аляски: а)–на суше, в)–на дне моря

А Д И Н Ы

РАЗРЫВНЫЕ НАРУШЕНИЯ

ГЛУБИННЫЕ РАЗЛОМЫ

Геосинклинальные и постгеосинклинальные этапы развития
- установленные
- предполагаемые, в том числе погребенные

Платформенные этапы развития
- установленные
- предполагаемые
- погребенные

Неустановленные типы развития
- установленные
- предполагаемые

ПОВЕРХНОСТНЫЕ РАЗЛОМЫ

Геосинклинальные этапы развития
- установленные
- предполагаемые, в том числе погребенные

Постгеосинклинальные этапы развития
- установленные
- предполагаемые, в том числе погребенные

Платформенные этапы развития
- установленные
- предполагаемые, в том числе погребенные

Неустановленные типы развития
- установленные
- предполагаемые, в том числе погребенные

МОРФО-КИНЕМАТИЧЕСКОЕ РАЗДЕЛЕНИЕ РАЗЛОМОВ

Надвиговый тип. Вершины треугольников показывают падение сместителя

Сдвиговый тип. Стрелки показывают направление относительного перемещения крыльев

Сбросовый тип, как широко развитый, особым знаком не выделяется

Погребенные зоны глубинных разломов—преимущественно на шельфе

Зоны активизированных глубинных разломов – преимущественно на внешней границе континента – морфодизъюнктивы

Рифтовые образования в осевой зоне срединно-океанических вулканориев

Гьяры Исландии и их предполагаемые аналоги на дне океана, отвечающие узколинейным магнитным аномалиям

ИНТРУЗИВНЫЕ ОБРАЗОВАНИЯ

СОСТАВ / ВОЗРАСТ	КИСЛЫЙ И СРЕДНИЙ	ОСНОВНОЙ	УЛЬТРА-ОСНОВНОЙ	ОСНОВНОЙ-УЛЬТРА-ОСНОВНОЙ	ЩЕЛОЧНОЙ
АРХЕЙСКИЙ	γ_1	ν_1	σ_1		
ПРОТЕРОЗОЙСКИЙ	γ_2	ν_2		$\nu\sigma_2$	ε_2
РИФЕЙСКИЙ (СИНИЙСКИЙ)	γ_3	ν_3	σ_3		ε_3
РАННЕПАЛЕОЗОЙСКИЙ	γ_4^1	ν_4^1	σ_4^1		ε_4^1
СРЕДНЕПАЛЕОЗОЙСКИЙ	γ_4^2	ν_4^2	σ_4^2		ε_4^2
ПОЗДНЕПАЛЕОЗОЙСКИЙ	γ_4^3	ν_4^3	σ_4^3		
РАННЕМЕЗОЗОЙСКИЙ	γ_5^1	ν_5^1	σ_5^1	$\nu\sigma_5^1$	ε_5^1
СРЕДНЕМЕЗОЗОЙСКИЙ	γ_5^2	ν_5^2	σ_5^2		
ПОЗДНЕМЕЗОЗОЙСКИЙ	γ_5^3	ν_5^3	σ_5^3		ε_5^3
РАННЕКАЙНОЗОЙСКИЙ	γ_6^1	ν_6^1	σ_6^1		ε_6^1
ПОЗДНЕКАЙНОЗОЙСКИЙ	γ_6^2	ν_6^2			

Сеткой показаны интрузии на дне моря

Мигматиты

Интрузии Сибирских траппов

Интрузии, возраст которых определяется в широких пределах или является промежуточным, показываются краской, принятой для более древних образований данной группы и индексируются цифрами обеих групп (например: граниты докембрийские γ_{1-3}, пермо-триасовые γ_{4-5}, мезозойские γ_5^{1-3})

ВУЛКАНОГЕННЫЕ ОБРАЗОВАНИЯ

- Кислого состава
- Основного состава
- Среднего состава
- Смешанного состава

ПРОЧИЕ УСЛОВНЫЕ ЗНАКИ

ИЗОПАХИТЫ ОТЛОЖЕНИЙ, СЛАГАЮЩИХ СТРУКТУРНЫЕ ЯРУСЫ

РУССКАЯ ПЛИТА

Московская синеклиза
- 0.3 — Рифейский ярус
- 0.3 — Вендско-нижнепалеозойский ярус (V–Cm)
- 2.0 — Нижне-среднепалеозойский ярус ($O–D_1$)
- 0.4 — Среднепалеозойский ярус ($D_2–C_1$)
- 1.0 — Верхнепалеозойско-нижнемезозойский ярус ($C_2–T_1$)
- 0.2

Печорская глыба
- Нижний подъярус ($D_2–C_1$) средне-верхнепалеозойского яруса
- Верхний подъярус ($C_2–P_1$) средне-верхнепалеозойского яруса
- Мезокайнозойский ярус (J_2–N)

ВОСТОЧНО-СИБИРСКАЯ ПЛИТА
- Протерозойско-рифейский ярус
- Нижне-среднепалеозойский ярус ($Cm–C_1$)

Примечание. Цифры показывают мощности в километрах

ИЗОЛИНИИ ДРУГИХ ЗНАЧЕНИЙ

- -2.0 — Изогипсы поверхности фундамента платформ
- а 4.0, б — Изогипсы по кровле доюрского фундамента Центральной и Западной Сибири: а) вычисленные по геологическим и геофизическим данным, б) предполагаемые
- 0.25 — Стратоизогипсы по подошве вулканогенного комплекса верхнепалеозойско-нижнемезозойского структурного яруса
- 2.0 — Изогипсы поверхности допенсильванского фундамента впадины Свердрупа

Примечание. Цифры показывают абсолютные глубины в километрах

ГРАНИЦЫ СТРУКТУРНЫХ ПОДРАЗДЕЛЕНИЙ

- Ярусов
- Подъярусов
- Отдельных структурных элементов
- Формаций

- Простирание структур: а) наблюдаемых, б) погребенных и предполагаемых
- Оси антиклиналей и антиклинориев: а) установленные, б) предполагаемые
- Оси синклиналей и синклинориев (установленные)
- Линейно-прерывистые антиклинальные складки в краевых прогибах
- Наложенные на более древнюю складчатую структуру линейно-прерывистые антиклинальные складки: а) герцинские, б) альпийские
- Брахиантиклинали: а) установленные, б) предполагаемые
- Куполовидные поднятия: а) установленные, б) предполагаемые
- Пологие валообразные структуры кайнозоя
- Пологие мульдообразные структуры кайнозоя
- Флексуры
- Соляные купола: а) установленные, б) предполагаемые
- Вулканы
- σ_5^1 Трубки взрыва
- Эпицентры землетрясений

Карту составили: И.П. Атласов, В.А. Вакар, В.Д. Дибнер, Б.Х. Егиазаров, А.В. Зимкин, К.О. Кратц, Б.С. Романович

В составлении карты приняли участие: В.Э. Волк, Я.Я. Гаккель, Р.М. Деменицкая, А.М. Карасик, С.М. Крюков, Д.В. Левин, В.М. Литвин, Н.Н. Михайлов, В.И. Розенберг, Б.В. Ткаченко

Картографическая группа: Т.П. Власова, А.Ф. Иванова, Н.Л. Козлова, И.В. Топорец, Н.Д. Шургаева (руководитель)

Карта составлена по материалам: Научно-исследовательского института геологии Арктики, Всесоюзного научно-исследовательского геологического института, Всесоюзного нефтяного научно-исследовательского института, Всесоюзного аэрогеологического треста, Сибирского научно-исследовательского института геологии, геофизики и минерального сырья; территориальных управлений Министерства геологии СССР: Иркутского, Красноярского, Северо-Восточного, Северо-Западного, Тюменского, Уральского, Ухтинского, Якутского и 2-го Гидрогеологического управления; учреждений Академии Наук: Института геологических наук, Океанологического института, Сибирского отделения—Института геологии и геофизики, Северо-Восточного комплексного научно-исследовательского института, филиалов - Кольского, Коми, Петрозаводского, Якутского; Арктического и Антарктического научно-исследовательского института; Полярного института морского рыбного хозяйства и океанографии, Всесоюзного института морского рыбного хозяйства и океанографии; геологических служб и университетов: Англии, Дании, Исландии, Канады, Норвегии, США, Финляндии, Франции, ФРГ, Швеции и других стран

Карта утверждена Научно-редакционным советом ВСЕГЕИ 24 июня 1965 года.

Оформлена и отпечатана на Ленинградской картфабрике ВАГТ
Редакторы оформления: картограф В. И. Алябьева, геолог А. В. Костенич. Технический редактор Л. Г. Долгонос.
Заказ 737. Тираж 1000 экз. Подписана к печати 2 X-1969г.
М-57571 Цена 3 руб. 90 коп.